

早稲田大学理工学部 正員 遠藤有夫  
学生員 〇金成英夫

## 1. 緒論

下水道の普及に伴て、下水處理場で発生する汚泥は莫大な量となる。汚泥は各処理場で處理するよりも、1ヶ所に集め了一括處理する方が經濟的であり、臭気等の観点からも得策であるとされている。このような場合、汚泥の輸送は管路で行うのが最も良いと考えられる。しかし、汚泥を管路で輸送した場合の摩擦損失水頭は從来、実験的検討は若干行われているが、理論的検討はほとんど行われていない。本報では汚泥の流れを理論的に考察し、實際規模の管路で実験的に検討を加えたものである。

## 2. 理論的考察

円管内の汚泥の速度勾配とせん断応力との関係は見掛け度数を $\mu_a$ とすると次のように表わせる。すなわち、

$$\tau = \mu_a \left( -\frac{du}{dr} \right) \quad (1)$$

次に、半径 $r_w$ の円管内での $\tau$ におけるせん断応力は、

$$\tau = \frac{r}{r_w} \tau_w \quad (2)$$

$\tau$ : せん断応力,  $du/dr$ : 速度勾配,  $\tau_w$ : 壁面摩擦強度

(2)式を(1)式へ代入し積分すると

$$\mu_a = \int_0^u du = \frac{\tau_w}{r_w} \int_{r_w}^{r_w} \frac{r_w dr}{\mu_a} \quad (3)$$

ここで流量 $Q$ は次のようになる。

$$Q = \int_0^{r_w} 2\pi r u dr = \frac{\pi r_w}{r_w} \int_0^{r_w} \frac{r^2 dr}{\mu_a} \quad (4)$$

また、(2)式から

$$r = \frac{r_w}{\tau_w} \tau \quad \text{または} \quad dr = \frac{r_w}{\tau_w} d\tau \quad (5)$$

したがって(4)式は次の形に表わせる。

$$Q = \frac{\pi r_w}{\tau_w} \int_0^{r_w} \frac{\tau^3 d\tau}{\mu_a} \quad (6)$$

ここで、次の式で示される $X$ を導入すると

$$X = \frac{Q}{\pi r_w^3} \quad (7)$$

(6)式は次のようになる。

$$X \tau_w^3 = \int_0^{r_w} \frac{\tau^3 d\tau}{\mu_a} \quad (8)$$

微分して、

$$\frac{dX}{d\tau} \tau_w^3 + 3\tau_w^2 X = \frac{r_w^3}{\mu_a} \quad (9)$$

## 3. 実験方法

実験は直徑33.8 m、長さ10,600 mの管路に直接SL型隔膜圧力計を設置して測定を行った。流量は電磁流量計で測定した。汚泥の粘度は回転粘度計で測定し、速度勾配とせん断応力は Krieger と Maron らの式から計算した。すなわち

$$G(\tau_w)/F_b = \Phi [1 + \Delta(F)] \quad (10)$$

$$F_b = M / 2\pi R_b^2 l \quad (11)$$

ここで、管の直徑を $D$ とすると、 $Q = \pi r_w^2 V$ 、および $X = 2V/D$ であり、これを(8)式へ代入すると

$$\frac{d(2V/D)}{d\tau_w} \tau_w + 3\left(\frac{2V}{D}\right) = \left(\frac{2V}{D}\right)_w \quad (12)$$

$(2V/D)_w$ は壁面における速度勾配であるので、(12)式は

$$\left(-\frac{du}{dr}\right)_w = \frac{3}{4} \left(\frac{2V}{D}\right) + \frac{1}{4} \frac{d(2V/D)}{d\tau_w} \tau_w \quad (13)$$

Metzger と Reed は(13)式を次のようにならに変形している。

$$\left(-\frac{du}{dr}\right)_w = \left(\frac{3n+1}{4n}\right) \left(\frac{2V}{D}\right) \quad (14)$$

$$\therefore \tau' = n' \frac{d(\ln \frac{2V}{D})}{d(\ln \tau_w)} \quad (15)$$

$\tau'$ が一定の場合、(15)式を積分すると

$$\tau_w = R' \left(\frac{2V}{D}\right)^{n'} = R' \left(\frac{3n+1}{4n}\right)^{n'} \left(-\frac{du}{dr}\right)_w \quad (16)$$

(14)式は擬塑性流体に関する de-Waele - Ostwald の式 ( $\tau = R' (dy/dx)^n$  に相当してあり)、 $R'$ 、 $n'$  を定数とすると次の関係がある。

$$n' = n \quad (17)$$

$$R' = R \left(\frac{3n+1}{4n}\right)^n \quad (18)$$

Fanning の摩擦係数  $f = \tau_w / (\rho D^2/2)$  を(14)式へ代入すると

$$f = \frac{16 \cdot R' \cdot 8^{n'-1}}{D^n \cdot V^{2-n'}} \quad (19)$$

ここで、 $f = 16/R_e$  とすると、広義のレイルズ数  $Re = 16 f D / \rho$  である。

$$Re = \frac{8^{n'-1} \cdot R'}{8^{n'-1} \cdot R' \cdot \rho} \quad (20)$$

$\rho$ : 汚泥の密度。

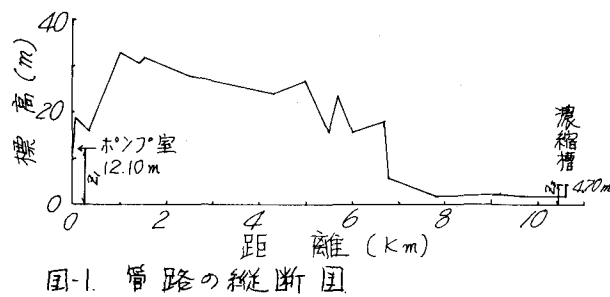


図-1. 管路の継続断面

ただし、 $\Delta f = 2R_f/f_0(1-\kappa^2)$

$$\Delta f_i = f_i (d \ln \Delta f / d \ln f_0) + f_0 (d \ln \Delta f / d \ln f_i)$$

$$f_0 = \frac{\pi^2/4}{2S^2} (1 - \frac{2}{\pi} \ln S), f_i = \frac{\pi^2/4}{6L^2} \ln S$$

$G(f_b)$ : 速度勾配、 $f_b$ : せん断応力、  
M: ハルフ、 $\Omega$ : 角速度、 $L$ : 内  
管の長さ、 $R_b$ : 内管半径、 $R_c$ :  
外管半径。

#### 4. 実験結果及び考察

実験に使用した送泥管路の概略

図は図-1に示した。汚泥は口径

200 mm のポンプで圧送され、圧力は  $10^2$

ポンプ吐出口で測定した。ポンプ室を

出した所で直徑338 mm の管路に接続している。一方、送泥先では汚泥を

直接濃縮槽へ流入している。ポンプ室

と濃縮槽の2箇所にヘルムートの式を適用する。

$$z_i + \frac{P_i}{\rho g} + \frac{V_i^2}{2g} = z_2 + \frac{P_2}{\rho g} + \frac{V_2^2}{2g} + h_e \quad (21)$$

$$h_e = (z_i - z_2) + (P_i - P_2)/\rho g + (V_i^2 - V_2^2)/2g = 740 + 10P + 0.365V^2 \quad (22)$$

ここで、 $P$ は圧力( $\text{kg}/\text{cm}^2$ )、 $V_2$ は直徑338 mm 管内の流速( $\text{m/sec}$ )である。す

べし、摩擦以外の損失は  $h/D = 31,600 > 3,000$  であるから無視してもさしつかえないが、

一方、曲管とポンプ回りの損失をみて  $h = 0.6 \text{ m}$  および  $0.4 \text{ m}$  とすると摩擦損失木頭

の実測値は次の式で与えられる。

$$h = 6.40 + 10P + 0.365V^2 \quad (23)$$

一方、摩擦損失木頭の計算値は次のようにして求めることができる。すなわち、図-2は

汚泥の場合の  $Re$  と  $f$  の関係である。 $Re$  と  $f$  の関係は層流領域では  $f = 16/Re$ 、乱流

領域では  $f = 0.0455 Re^{-0.202}$  と表わすことができた(但し、 $Re$  は(18)式で示される)。回

転粘度計で求めた  $G(f_b)$  と  $f_b$  との関係から  $f$  と  $f_b$  を求め(図-3)、(15)および(16)

式から  $f_b$  と  $f$  を求め。次に(18)式で  $f_b$  を計算し図-2において対応する  $f$  を求め Darcy-

Weisbach の式

$$h_f = 4f \cdot \frac{L}{D} \cdot \frac{V^2}{2g} \quad (24)$$

を用いて計算することである。図-4は上記のようにして計算した摩擦損失木頭

の実測値と計算値を示したものである。ここで、汚泥の流速は

0.9~1.0 m/sec の範囲であり、清水で流速 1.0 m/sec の場

合の摩擦損失木頭は 21.0 m である。図-4に示した計算値と実測

値との差は最大 13%、平均 5.6% である。ここで、圧力計の誤取

誤差を最小目盛の  $0.1 \text{ kg}/\text{cm}^2$  とすると、これによる実測値の範囲は図-4

に破線で示した。以上を總括ると流速 0.9~1.0 m/sec、濃度 8,000~15,000 ppm では計算値と実測値はかなり良く一致することが認められた。

#### 5. 結論

実際規模の管路で汚泥濃度 8,000~15,000 ppm、流速 0.9~1.0 m/sec の範囲で実験を行ひ次のような結論が得られた。すなわち、回転粘度計から求めた汚泥の摩擦損失木頭と計算値との差は最大 13%、平均 5.6% であり、かなり良く一致することが認められた。

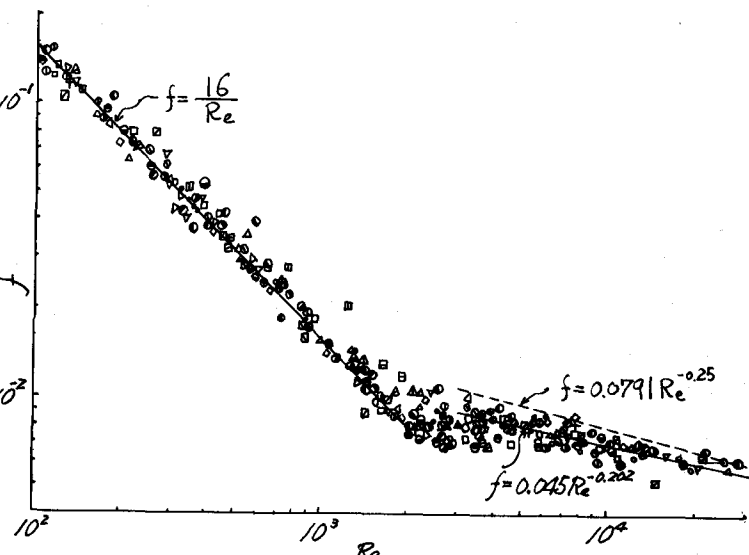


図-2 汚泥の  $Re$  と  $f$  の関係。

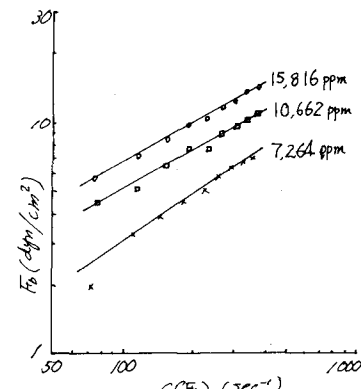


図-3 汚泥の速度勾配とせん断応力

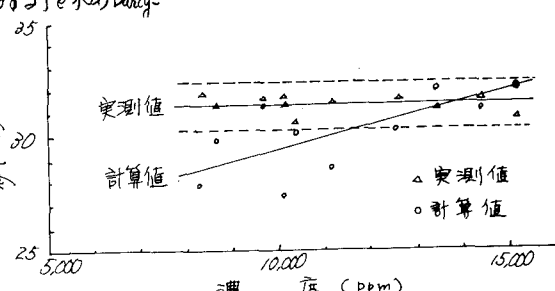


図-4 摩擦損失木頭の実測値と計算値

538